

## 集成电路中的物理问题讲座

### 第九讲 光电子与俄歇电子在 X 射线光刻中的影响

顾柏春

(中国科学院半导体研究所)

自从 1972 年 Spears 与 Smith<sup>[1]</sup> 首先发表了 X 射线光刻的论文以来, 美、日、西德和法国等都将 X 射线光刻列入超大规模集成电路的光刻工艺之一。美国贝尔电话公司已将 X 射线光刻机用于中间性生产线, 做出了  $0.30\mu\text{m}$  的短沟道的 MOS 器件<sup>[2]</sup>。

X 射线光刻受到重视的原因是: (1) 最高分辨率可以做到为  $50\text{\AA}$ ; (2) 光刻的质量较用其它光刻技术好, 表现在光刻后光刻胶的剖面图形的高度与宽度之比可达 15:1。另外, 对灰尘不敏感, 因而超净级别可以低一些; (3) X 射线光刻用的掩膜寿命长, 可与投影光刻掩膜寿命相比; (4) 每片硅片的成本较低。

X 射线光刻的原理如图 1 所示, 当电子束轰击金属靶时, 发射 X 射线。图中  $\delta$  为半阴影,  $s$  为硅片到掩膜之间间隙,  $d$  为电子束斑直径,  $D$  为束斑至掩膜距离,  $W$  为硅片直径,  $\Delta$  为几何畸变量。

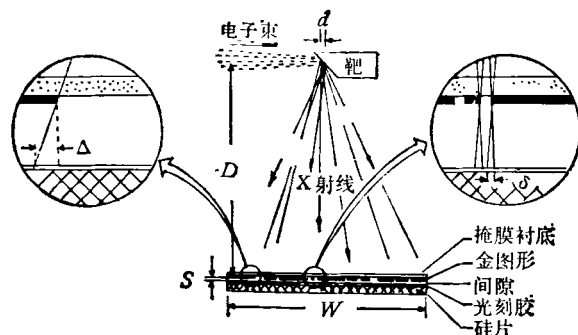


图 1 X 射线光刻原理图

若软 X 射线波长大于  $1\text{\AA}$ , 则康普顿散射引起的能量损失与光电效应吸收的能量相比, 小于 1%, 所以当它穿透所经过的物质时, 可仅考虑吸收。从图 1 中看出, X 射线光刻胶的图

形分辨率由半阴影  $\delta = S(d/D)$  决定, 而套刻精度由几何畸变  $\Delta = S(W/2D)$  决定。起初有人认为, X 射线光刻后的光刻胶的尺寸和几何位置完全是由 X 射线光子所在位置决定, 后来发现, 掩膜与硅衬底也有光电子和俄歇电子产生, 它们都对光刻胶图形发生影响<sup>[3]</sup>。

#### 一、X 射线光刻胶的曝光机理

当 X 射线光子打进 X 射线光刻胶中, 原子内壳层中的光电子和俄歇电子即随之打出<sup>[4,5]</sup>, 这两种电子以激发或电离邻近分子的方式把能量传递给光刻胶。光刻胶的高分子接受这种能量后发生断链或交联。若高分子发生交联, 由于分子量增加, 就难于溶解在显影剂中。原来未接受光子能量的高分子, 由于分子量低, 易溶解在显影剂中, 这就是负胶。反之, 若发生断链, 曝光区易溶于显影剂, 非曝光区不溶解于显影剂, 这就是正胶。综上所述, 使 X 射线光刻胶曝光的粒子归根结底是电子, 而是正胶或是负胶, 由光刻胶高分子本身的性质决定。

#### 二、光电子与俄歇电子的行为<sup>[6]</sup>

在 X 射线光刻中, 能量的传送是依靠光电子和俄歇电子。俄歇电子有一个以它们的原点为中心的球形分布, 即各向同性的分布形式, 如图 2(a) 所示。X 射线激发能量小于  $10\text{ keV}$  的光电子却是以垂直于 X 射线入射方向, 在 X 射线偏振面内优先发射, 如图 2(b) 所示。这两种角分布形式, 在计算能量传递分布时是很重要的。

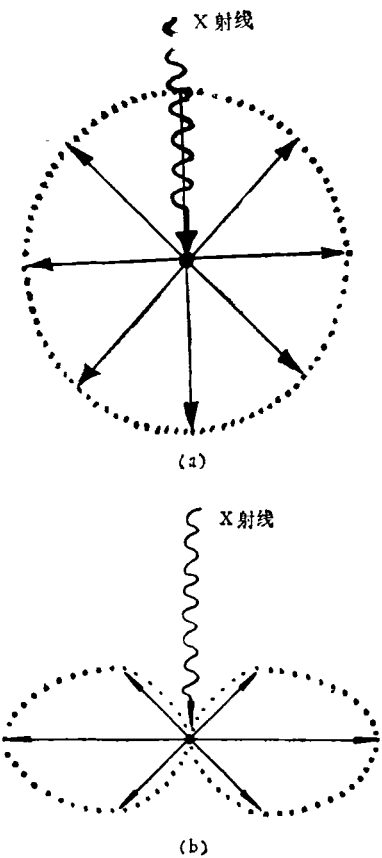


图 2 角分布形式  
(a) 俄歇电子 (b) 光电子

多数光电子和俄歇电子的能量如表 1 所示。

表 1 X 射线光刻胶和硅中光电子、俄歇电子的能量

X 射线	Rh <sub>L</sub> 波长 4.6 Å 能量 2.7 keV		Al <sub>K</sub> 波长 8.3 Å 能量 1.49 keV		
	光电子	俄歇电子	光电子	俄歇电子	
胶中最大能量 (keV)	O <sub>K</sub>	2.17	0.52	0.96	0.52
	C <sub>K</sub>	2.42	0.28	1.21	0.28
硅中最大能量 (keV)	Si <sub>K</sub>	0.9	1.65	/	/
	Si <sub>L</sub>	/	/	1.34	0.15

从表 1 中可以看出，光电子与入射的 X 射线能量有关，例如当 Al<sub>K</sub> 线辐照的入射能量太小，对于硅，就打不出 K 层的光电子，多数光电子不再属于 K 系，而属于 L 系。俄歇电子与入射的能量无关，仅与材料的原子壳层能级有关。

### 三、X 射线掩膜产生的光电子和俄歇电子对光刻胶图形的影响<sup>[7]</sup>

#### 1. 掩膜上用金制成的掩膜图形的影响

图 3 为金制掩膜图形上产生的光电子和俄歇电子，进入胶中最大深度的测量结果。从图中看出，最大穿透深度与 X 射线的波长有关。Rh<sub>L</sub> 波长为 4.6 Å，电子的最大穿透深度可达 600 Å，而 C<sub>Kα</sub> 波长为 44.8 Å，最大穿透深度小于 100 Å。显然，采用波长长一些，光电子和俄歇电子的影响就小。这里还要指出，最大穿透深度随波长变化，说明光电子贡献占优势，但是不能说，俄歇电子不起作用。

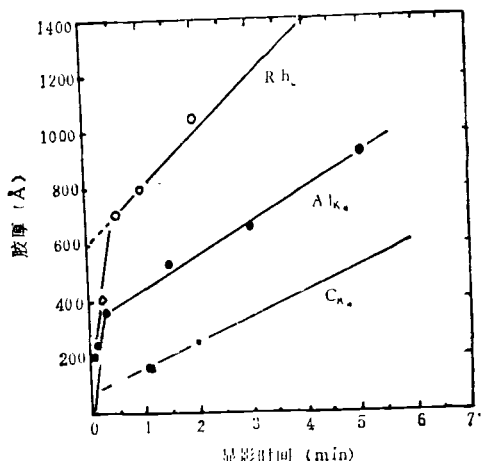


图 3 曝光胶的显影深度与显影时间的关系  
纵轴上截距近似地表示这些电子  
进入胶中的深度<sup>[7]</sup>

掩膜上金层产生的这两种电子对光刻胶图形的影响<sup>[7]</sup>，还可从图 4 中看出。图 4(a) 为用厚度为 1 μm 金图形的 X 射线掩膜，复印出的光刻胶图形的扫描电镜照片。高灵敏度的光刻胶为甲基丙烯酸缩水甘油酯与马来酸甲脂的共聚物，型号为 SEL-N，为负性光刻胶。1 μm 厚的金图形只能穿过 6% 的 Mo<sub>L</sub> 线 (5.4 Å) 辐照，X 射线掩膜的反差约为 16:1。虽然已经用了这样高反差的掩膜，却不能得到陡直截面的胶图形。图 4(b) 为胶的截面的示意图，由图可见，胶图形的顶部可以彼此连在一起，根据负

胶的定义，金图形下X射线受阻，光刻胶应该不曝光，而现在光刻胶的顶层却不易溶解于显影剂，显然这种交联是光电子和俄歇电子引起的结果。在图4(a)中，可以看到顶层光刻胶的局部连结，并不象图4(b)中那样顶层整个连结，这是因为几百埃厚的光刻胶不易完整无损的保存下来。即使这样，这种局部交联也会影响分辨率和图形完整性，这是集成电路光刻工艺所不允许的。

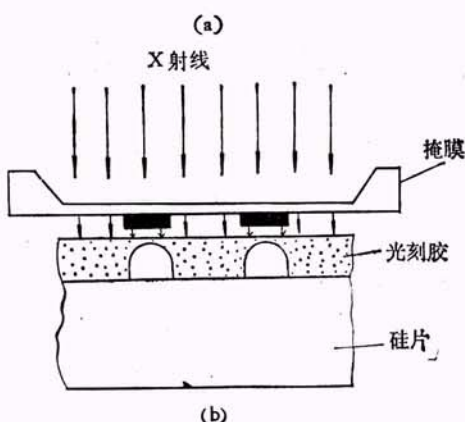
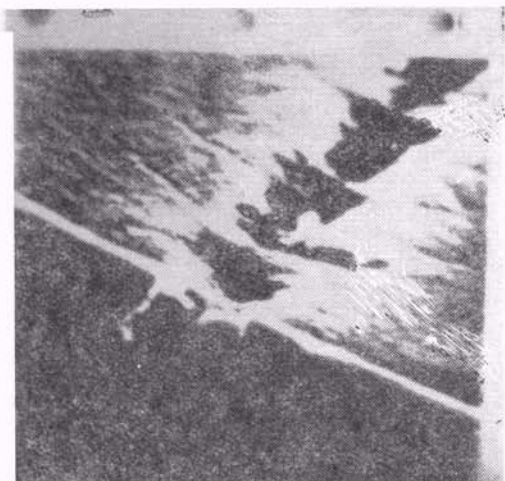


图4 掩膜上金图形产生的光电子和俄歇电子对光刻胶图形的影响  
(a) 扫描电镜照片; (b) 截面图

## 2. 连续谱X射线在掩膜金图形上也产生光电子与俄歇电子

电子枪形式的X射线管是通过高速电子撞击金属靶打出X射线。在金属铝靶上，连续谱占X射线总能量的1%，而在金属铑靶上，占

14%。这些连续谱中波长比特征谱线还短的部分，当通过同样厚度的金掩膜图形时，会衰减的更少。它引起的光电子与俄歇电子的能量，比特征谱所产生的这些电子的能量更高，对胶的曝光也有贡献。

## 3. 由无机材料组成的掩膜衬底也发射出光电子与俄歇电子

如果X射线掩膜用0.5至2μm厚的SiN薄膜做衬底，实验发现，这种掩膜也产生光电子和俄歇电子。在Mo<sub>L</sub>线辐照下，它们进入胶中的最大深度同样也可达到550Å。

总之，X射线掩膜在吸收光子后产生光电子和俄歇电子，这些电子降低掩膜上图形的反差；对于曝光的X射线光刻胶，它们要降低胶的反差，影响分辨率。

## 四、光刻胶与硅衬底产生的光电子与俄歇电子的影响<sup>[6,7]</sup>

### 1. 光电子与俄歇电子在光刻胶中的影响

利用前述角分布，可以计算出光电子和俄歇电子的能量密度分布。如图5所示，可以看出它们的影响范围与大小对不同波长是不一样的。对Rh<sub>L</sub>线，光电子和俄歇电子的影响范围为0.22μm；对Al<sub>K</sub>线，为0.07μm。可以用格林射程公式估计光电子和俄歇电子最大影响范

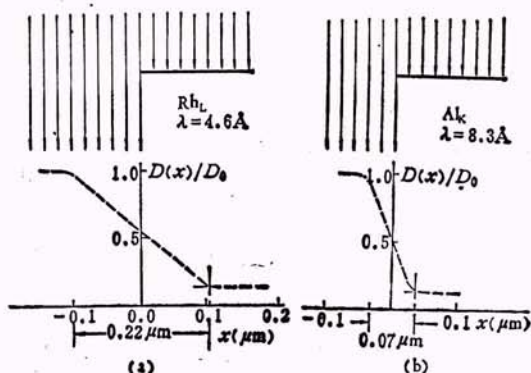


图5 掩膜反差为10:1，不考虑掩膜和硅片衬底的光电子和俄歇电子的影响时，光刻胶中的能量分布曲线  
 $D_0$  为未被金图形吸收的能量密度； $x$  为距离；  
 $D(x)$  为各点的能量密度

围, 格林射程公式为

$$r_g = 0.046(g\mu\text{mcm}^3)(1/\rho)(E/\text{keV})^{1.75},$$

式中  $E$  为电子能量, 以光刻胶 PMMA (聚甲基丙烯酸甲脂)为例,  $\rho$  (密度)为  $1.2\text{g/cm}^3$ . 从公式中也可看出, 只要对 PMMA 中有最大光电子能量  $E$  的元素进行计算, 就能估算出  $r_g$ , 这里只对碳原子的 K 壳层进行估算. 在  $\text{Rh}_L$  线辐照时,  $E = 2.42\text{keV}$ ,  $r_g = 0.18\mu\text{m}$ ; 在  $\text{Al}_K$  线辐照时,  $E = 1.21\text{keV}$ ,  $r_g = 0.054\mu\text{m}$ .

用能量密度分布曲线  $D(x)$  估计出来的范围要比格林射程大些.

对于一种光刻胶, 有一定的灵敏度, 例如 PMMA, 在  $\text{Al}_K$  线辐照时, 一定要达到  $0.6-1\text{J/cm}^3$ , 才能显影出漂亮的光刻胶图形. 如果光电子和俄歇电子, 不到一定数量(即给光刻胶的能量不够), 就形成不了光刻胶图形. 因此, 光刻胶上形成最小线条可从能量密度分布曲线来估计. 目前, 可以估计出 X 射线的最高分辨率是  $50\text{\AA}$ .

X 射线光刻的两个公式的基本点是: X 射线光子所到达的位置决定图形的几何尺寸, 也就是忽略了俄歇电子和光电子的影响. 随着最小线条进入亚微米和毫微米级时, 要使两个基本公式仍成立, 只有进一步提高波长.

## 2. 硅衬底的光电子和俄歇电子的影响

光刻胶与硅片交界处的光电子和俄歇电子是光刻胶与硅衬底贡献的, 计算出能量密度分布函数后, 再画成等能量密度曲线, 如图 6 所示. 由图可见, 对于  $\text{Al}_K$  辐照, 不同反差的掩膜, 影响只有  $0.02\mu\text{m}$ ; 对于  $\text{Rh}_L$  辐照, 却不同

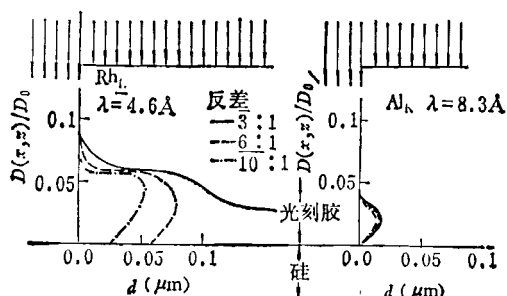


图 6 不同反差的掩膜, 在  $\text{Rh}_L$  和  $\text{Al}_K$  线辐照下, 光刻胶底部的等能量密度曲线  
[ $D(x, z)/D_0 = 0.5$ ]

了, 用反差  $10:1$  与  $6:1$  的掩膜, 光电子与俄歇电子的等能量密度曲线的最大值可分别达  $0.05\mu\text{m}$  和  $0.08\mu\text{m}$ , 而当反差为  $3:1$  时, 显影时完全可以造成漂胶, 即整个光刻胶面离开硅衬底.

## 五、清除光电子和俄歇电子的不良影响的办法

### 1. 采用长波软 X 射线光源例如电子同步回旋加速器<sup>[9]</sup>

如前所述, 采用长波进行 X 射线光刻, 光电子和俄歇电子的影响就小. 电子同步加速器产生的 X 射线是强光源, 而且可以将它的峰值波长设计在  $20-30\text{\AA}$  之间. 这样, 在光刻胶中光电子的影响会减小许多. 如果在同步辐照的光束线上采用一面总偏折角为  $4^\circ$  的金反射镜, 则可以消除比  $6.7\text{\AA}$  更硬的辐照, 这样前面提到的连续谱的影响, 也就消除了. 这一种办法是较为理想的.

### 2. 在向着光刻胶的一面的掩膜上, 和在硅衬底与光刻胶之间涂一层有机材料组成的薄膜<sup>[4,6]</sup>

这样的涂层可以吸收光电子和俄歇电子的能量. 例如, 在掩膜上涂一层阿皮松油膏或聚酰亚胺, 金图形的厚度为  $0.5\mu\text{m}$ , 就能得到完整的  $0.8\mu\text{m}$  厚的负型光刻胶的图形. 若不涂这层有机膜, 则需  $1\mu\text{m}$  厚的金图形才能得到较为完整的光刻胶图形. 涂一层有机薄膜提高了掩膜的反差.

## 六、X 射线光刻对器件的影响<sup>[10,11]</sup>

X 射线光刻时, 辐照剂量可达  $10-100\text{Mrad}$ , 或者在  $\text{Al}_K$  线辐照下曝光剂量相当于  $13\text{mJ/cm}^2$ . 这样大的剂量辐照在半导体上必然产生大量的电子-空穴对, 这是由 X 射线激发出的光电子和俄歇电子将能量传递给半导体引起的, 每  $3eV_g$  能量, 就会产生一对电子-空穴, 其中  $V_g$  为能带间隙电压,  $e$  为电子电荷. 对于

Si, 为了产生一对电子-空穴, 大约需要 3.8eV.

光电子与俄歇电子能量(小于 145keV)还不足以损伤硅晶体结构, 但是它们产生电子表面态, 会影响电子器件性能。例如, 当剂量大约为 100 Mrad 时, p-MOS 和 n-MOS 器件的阈值电压分别偏移了 2.5V 和 0.25V。漏电流也增加了一个数量级。对于 SOS 上的 CMOS 器件来说, 大约有  $10^{11}\text{cm}^{-2}$  的交界面正电荷密度在硅-蓝宝石界面上产生。

目前消除这种辐照损伤的办法是在 400°C 退火 30 分钟, 然后比较退火前、后样品的电容-电压和电流-电压特性, 使热退火中和这些电荷, 恢复器件特性。但在深入研究时, 发现在  $\text{SiO}_2$  层中产生中性的电子陷阱, 这些陷阱均匀分布在整個氧化层中。用适当的温度热退火可以减少陷阱, 但是并不能彻底消除, 这是因为陷阱直到它们被电子充满时还都是中性的, 故用电容-电压法是测试不出来的。要消除这些陷

阱必须用 550°C 以上的温度退火。

## 参 考 文 献

- [1] D. L. Spears and H. I. Smith, *Electron Letters*, **8** (1972), 102.
- [2] 日经电子学, 新闻报道, **256**(1981), 70.
- [3] J. R. Maldonado et al., *J. Vac. Sci. Technol.*, **12** (1975), 1329.
- [4] 吴自勤, 物理, **12-5**(1983), 301.
- [5] 惠振邦, 仪器与未来, No. 4—5 (1983), 18.
- [6] P. Tischer et al., Proc, 8th International Conferences on Electron Ion Beam Science and Technology, ed. by R. Bakish, Bakish Materials Corporation, (1978), 444.
- [7] Yasunao Saitoh et al., *Jpn. J. Appl. Phys.*, **21-1** (1982), L52.
- [8] R. Feder et al., *Polym. Eng. Sci.*, **17**(1977), 385.
- [9] A. R. Neureuther, *Synchrotron Radiation Research*, New York Plenum, (1980), Chap. 7.
- [10] K. F. Galloway et al., *IEEE Trans. Electron Devices*, **ED-25**(1978), 549.
- [11] K. F. Galloway et al., *J. Electrochem. Soc.*, **126-2** (1979), 2245.

## 超短光脉冲宽度已被压缩到 8fs

超短光脉冲技术除了在物质的超快过程的测量中有重要意义外, 其本身的理论和技术也有重大科学和实际意义。自进入八十年代以来, 超短光脉冲技术已从微微秒范畴深入到毫微微秒范畴。世界各国的科学家们为获得更短的光脉冲做了大量研究工作。1982 年 Shank 等人<sup>[1]</sup>获得了 30fs 的光脉冲, 1984 年 Fujimoto 等人<sup>[2]</sup>把光脉冲压缩到 16fs。不久前有人报道已把光脉冲压缩到 12fs。最近 Bell 实验室的 Knox 等人<sup>[3]</sup>又把光脉冲压缩到 10fs 以内, 达到 8fs(在半高全宽度内, 光脉冲持续的时间不到四个光振动周期), 向获得真正的 1fs 光脉冲的方向前进了一大步。

Knox 等人还是用光的自相位调制来压缩光脉冲。先用一特殊设计的振荡-放大系统来产生脉冲宽度为 40fs 的光脉冲, 其重复率为 5kHz, 峰功率超过 1MW, 其中心波长为 620nm, 把 40fs 光脉冲聚焦到只有几毫米(7mm)长的单模光纤(芯直径为 4.0μm)内。从光纤射出的光被准直后通过一光栅对压缩器。

测量如此短的光脉冲的宽度与产生这种超短脉冲具有同等重要意义, 它们的困难程度也相当。Knox 等人用自相关技术来测量脉冲宽度。为了在测量过程中尽量减小误差, 采用只有 190μm 厚的 KDP 晶体。所有的分束器和反射镜都镀上金属而不是介质。最后测出光脉冲的半高全宽度小于 8fs, 中心波长 620nm, 谱宽~70nm, 重复率为 5kHz。

可以预计, 要获得更短的光脉冲, 会遇到更大的技术上的困难, 但理论预期 1fs 的光脉冲是可以得到的。

- [1] C. V. Shank et al., *Appl. Phys. Lett.*, **40**, (1982), 761.
- [2] J. G. Fujimoto et al., *Appl. Phys. Lett.*, **44**, (1984), 832.
- [3] W. H. Knox et al., *Appl. Phys. Lett.*, **46**, (1985), 1120.

(顾世杰)